

## فرمولی جدید برای محاسبه درصد دوز عمقی کبالت ۶۰

محمد جواد طهماسبی بیرگانی<sup>۱</sup>، مهدی قربانی<sup>۲\*</sup>

۱- دانشیار گروه فیزیک پزشکی، دانشکده پزشکی، دانشگاه علوم پزشکی اهواز

۲- دانشجوی دکتری تخصصی، گروه فیزیک پزشکی، دانشکده پزشکی، دانشگاه علوم پزشکی مشهد

تاریخ دریافت نسخه اصلاح شده: ۸۴/۷/۱۱ تاریخ پذیرش مقاله: ۸۴/۱۱/۸

### چکیده

**مقدمه:** دوزیمتری پرتوها در رادیوتراپی دارای اهمیت بالایی می‌باشد زیرا رادیوتراپی موفقیت آمیز مستلزم تابش دقیق دوز به حجم سرطانی در بافت می‌باشد. یکی از کمیتهای مهم در محاسبه زمان درمان در رادیوتراپی، درصد دوز عمقی است. هدف این مطالعه معرفی فرمولی جدید برای محاسبه درصد دوز عمقی بر روی محور مرکزی میدانهای کبالت ۶۰ است.

**مواد و روشها:** در مطالعه حاضر بر اساس جدول درصد دوز عمقی ارائه شده در مجله بریتانیایی پرتوشناسی<sup>۹</sup> فرمول جدید برای محاسبه درصد دوز عمقی در عمقهای  $0/5-30$  سانتی متر و میدانهای  $4 \times 4$  الی  $45 \times 45$  سانتی متر مربع ارائه گردید. برای بررسی میزان توافق فرمولها و مقادیر جدول از میانگین قدر مطلق اختلاف آنها استفاده شد و فرمول با کمترین میانگین قدر مطلق اختلاف به عنوان فرمول دارای بیشترین توافق انتخاب گردید. برای به دست آوردن فرمولها و انجام محاسبات از نرم افزار میکروسافت اکسل ۲۰۰۰ و دیتافیت ۸ استفاده گردید.

**نتایج:** در مقایسه با مقادیر جدول مجله بریتانیایی پرتوشناسی، از بین ۹ فرمول یک فرمول توافق بیشتری را نشان داده است. فرمول مورد نظر بر حسب  $\log(A/P)$  دارای دو قسمت درجه ۱ و درجه ۲ می‌باشد، به طوریکه برای بازه عمقی  $0/5-5$  سانتیمتر به صورت درجه ۱ و برای بازه عمقی  $5-30$  سانتی متر به صورت درجه ۲ است. میانگین قدر مطلق اختلاف مقادیر جدول و محاسبه شده با فرمول انتخاب شده ( $\Delta$ ) برابر با  $0/3152$  است.

**بحث و نتیجه گیری:** فرمول ارائه شده دارای توافق بیشتری با مقادیر جدول مجله بریتانیایی پرتوشناسی بوده و می‌توان از آن در برآورد درصد دوز عمقی میدانهای کبالت ۶۰ به ویژه برای عمقهای و ابعاد میدانهایی که جدول مجله بریتانیایی پرتوشناسی بدون مقدار می‌باشد استفاده کرد. (مجله فیزیک پزشکی ایران، دوره ۲، شماره ۸، پاییز ۸۴: ۵۳-۶۰)

واژگان کلیدی: درصد دوز عمقی، کبالت ۶۰

### ۱- مقدمه

در دوز می‌تواند احتمال آسیب غیر قابل برگشت را به همین نسبت افزایش دهد [۱]. بنابر نتایج به دست آمده، حداقل برای برخی از انواع تومورها، تابع احتمال کترول تومور بر حسب دوز دارای شبیه زیادی است. به عنوان مثال، کاهش ۱۰ درصد در دوز استاندارد اسمی<sup>۱</sup> کافیست تا احتمال کترول درمان به میزان ۲ یا ۳ برابر می‌شود؛ در حالیکه افزایش مشابهی

\* نویسنده مسؤول: مهدی قربانی

آدرس: گروه فیزیک پزشکی، دانشکده پزشکی دانشگاه علوم پزشکی مشهد، mhd-ghorbani@mums.ac.ir

تلفن: +۹۸ (۰۹۱۲) ۲۱۱۲-۷۵۴

[۱۱]. کلینیتساس<sup>۱۰</sup> و فیوس<sup>۱۱</sup> در سال ۱۹۷۵ بر اساس مقادیر اندازه گیری شده، فرمولی را برای محاسبه دوز بر روی محور مرکزی کیالت ۶۰ و همچنین نقاط خارج از محور ارائه کردند [۱۲].

در این تحقیق سعی شده است تا با استفاده از جدول مقادیر (SSD = ۸۰ cm) درصد دوز عمیق مربوط به کیالت ۶۰ موجود در مجله بریتانیایی پرتوشناسی<sup>۱۲</sup> (BJR) [۱۳]، چند فرمول جدید برای محاسبه درصد دوز عمیق ارائه شود و سپس از میان فرمولهای ارائه شده یک فرمول که توافق بیشتری با این جدول دارد انتخاب گردد.

## ۲- مواد و روشها

ابتدا با استفاده از نرم افزار میکروسافت اکسل<sup>۱۳</sup> و فرمول استرلینگ مقادیر درصد دوز عمیق برای عمقهای ۳۰ و ۲۰، ۲۶، ۲۲، ۲۴، ۲۰، ۲۰، ۳۰، ۳۵×۳۵، ۴۰×۴۰، ۴۵×۴۵ سانتی متر و میدانهای ۱۵×۱۵، ۱۰×۱۰، ۱۰×۱۲، ۱۲×۱۲، ۹×۹، ۷×۷، ۸×۸، ۶×۶، ۵×۵ سانتی متر مربع محاسبه و با مقادیر جدول درصد دوز عمیق BJR [۱۲] مقایسه گردید. برای این منظور، قدر مطلق اختلاف مقادیر محاسبه شده و جدول BJR برای هر عمق و میدان تعیین گردید و سپس میانگین این مقادیر برای همه عمقها و میدانها محاسبه شد. بر اساس روش استرلینگ و همکارانش و با استفاده از داده‌ها و نرم افزار جدید، فرمولی برای محاسبه درصد دوز عمیق استخراج گشت. بدین ترتیب که با استفاده از نرم افزار اکسل و با دانستن اینکه در هر عمق، درصد دوز عمیق بر حسب  $\log(A/P)$  خطی است، ابتدا

سرطان سلولهای اسکرواموس سوپراگلوت<sup>۱</sup> را از ۷۰ درصد به ۱۰ درصد کاهش دهد. کمیسیون بین المللی واحدها و اندازه گیریهای پرتوی<sup>۲</sup> (ICRU) به عنوان نتیجه ای از تجزیه و تحلیل داده‌های مربوط به پاسخ بافت به دوز جذبی اشعه، دقیقی برابر با  $\pm 5$  درصد را در تابش دوز در رادیوتراپی توصیه کرده است [۲]. از این رو بسیاری از تحقیقاتی که در زمینه رادیوتراپی صورت می‌گیرند به اندازه گیری و محاسبه دوز و ارائه روش‌های جدیدی برای محاسبه دوز می‌پردازنند [۳-۶]. در همین راستا استرلینگ<sup>۳</sup> و همکارانش در سال ۱۹۶۴ فرمولی را برای محاسبه درصد دوز عمیق<sup>۴</sup> (PDD) بر حسب عمق و  $\log(A/P)$  ارائه کردند. آنها همچنین روشی را برای محاسبه درصد دوز عمیق در نقاط خارج از محور ارائه کرده‌اند [۷]. استرلینگ و همکارانش در سال ۱۹۶۷ توانستند با تقسیم عمق به دو بازه و استفاده از دو فرمول به دقت بهتری دست بیابند [۸]. توماس<sup>۵</sup> در سال ۱۹۷۰ فرمولی را برای محاسبه دوز پرتوهای گامای کیالت ۶۰ و پرتوهای ایکس ۸ و ۱۵ مگا ولت ارائه کرد [۹]. تیمز<sup>۶</sup> در سال ۱۹۷۳ روشی را برای محاسبه دو بعدی دوز برای چشم‌های گاما و ایکس ارائه کرد [۱۰]. کرلنسن<sup>۷</sup> و یانگ<sup>۸</sup> در سال ۱۹۷۵ فرمولهایی را برای محاسبه درصد دوز عمیق و نسبت بافت به هوای<sup>۹</sup> پرتوهای گامای کیالت ۶۰ و پرتوهای ایکس با کیفیت ۱/۵ میلیمتر مس تا ۸ مگا ولت ارائه کردند و برای تعدادی از میدانهای مربعی و مستطیلی، مقادیر محاسبه شده با استفاده از فرمول را با مقادیر اندازه گیری مقایسه کرده‌اند

1-Supraglottis

2-International Commission on Radiation Units and Measurements

3-Sterling

4-Percentage Depth Dose

5-Thomas

6-Thames

7-Kornelson

8-Young

9-Tissue Air Ratio

10-Kanellitsas

11-Fayos

12-The British Journal of Radiology

13-Microsoft Excel 2000

رابطه  $PDD = a \cdot e^{bd}$  برای درصد دوز عمقی در هر  $A/P$  در نظر گرفته شد و سپس  $a$  و  $b$  نیز بر حسب  $\log(A/P)$  به ترتیب یک بار  $b$  به صورت درجه اول و  $a$  به صورت درجه چهارم و بار دیگر  $b$  به صورت درجه اول و  $a$  به صورت درجه پنجم در نظر گرفته شد. قابل ذکر است که با ملاحظه محدودیتهای نرم افزار اکسل، ضرائب معادلات درجه ۱ به بالا با استفاده از نرم افزار دیتافیت محاسبه شده اند. در ادامه با استفاده از نرم افزار دیتافیت، رابطه درصد دوز عمقی به صورت چند جمله ایهای مختلف و توابع مختلف بر حسب  $d$ ،  $\log(A/P)$ ،  $\log(d)$  و  $\log(\log(A/P))$  به دست آورده شد که از بین آنها یک فرمول که کمترین خطای استاندارد را داشت انتخاب گردید. در پایان با استفاده از نرم افزار اکسل، میانگین قدرمطلق اختلاف مقادیر محاسبه شده با استفاده از فرمولهای ارائه شده در این تحقیق و مقادیر اندازه گیری موجود در جدول BJR محاسبه گردید.

### ۳- نتایج

برای فرمول استریلینگ که به صورت:

$$\log(PDD) = [(-0.036d + 2.044) \log(A/P) + (-0.13d - 0.0056)]$$

می باشد مقدار میانگین قدرمطلق اختلاف مقادیر درصد دوز عمقی محاسبه شده با استفاده از این فرمول و جدول BJR ( $\bar{\Delta}$ ) برابر است با  $1/5273$ . توافق مقادیر محاسبه شده و جدول در عمقهای پایین کمتر بوده و در عمقهای بالا بیشتر می شود. برای عمق  $0/5$  سانتی متر، درصد دوز عمقی جدول  $100$  درصد می باشد که با استفاده از رابطه استریلینگ، این مقدار بین  $106$  و  $107$  درصد حاصل می شود. برای فرمول درجه اول بر حسب  $\log(A/P)$  که به صورت:

ضرائب زاویه و عرض از مبدأهای این خطوط برای هر عمق به دست آمد و سپس رابطه این ضرائب زاویه و عرض از مبدأها بر حسب عمق به دست آمد که این رابطه نیز خطی بود. میانگین قدر مطلق اختلاف مقادیر محاسبه و جدول BJR در این مورد نیز محاسبه گردید. برای افزایش دقت، درصد دوز عمقی بر حسب  $\log(A/P)$  به صورت یک چند جمله ای درجه دوم در نظر گرفته شد و سپس رابطه ضرائب این چند جمله ای بر حسب عمق به صورت خطی به دست آمد. با توجه به محدودیتهای نرم افزار اکسل، برای به دست آوردن ضرائب چند جمله ای درجه دوم درصد دوز عمقی بر حسب  $\log(A/P)$  از نرم افزار دیتافیت <sup>۸</sup> استفاده شد. با توجه به نتایج استریلینگ و همکارانش در تقسیم یک فرمول به دو فرمول که هر کدام برای عمقهای خاصی به کار می روند [۸]، این روش برای داده های جدید موجود در جدول BJR تکرار گردید. در این روش، برای عمقهای  $5$  و  $... 2, 1$  سانتی متر، رابطه درصد دوز عمقی بر حسب  $\log(A/P)$  به صورت خطی در نظر گرفته شده و سپس رابطه ضرائب این معادله خطی بر حسب عمق به دست آمد و سپس این کار برای عمقهای  $30$  و  $... 22, 20, 17, 14$  سانتی متر تکرار گردید. در مرحله بعد این کار تکرار گردید ولی رابطه درصد دوز عمقی بر حسب  $\log(A/P)$  برای هر دو بازه از عمقها به صورت درجه  $2$  در نظر گرفته شد. به منظور استخراج دو فرمول دیگر، رابطه درصد دوز عمقی یک بار تا عمق  $5$  سانتی متر به صورت درجه  $1$  و از آن به بعد درجه  $2$  و بار دیگر تا عمق  $5$  سانتی متر درجه  $2$  و برای عمقهای  $6$  سانتی متر و بیشتر به صورت درجه  $1$  در نظر گرفته شد. در فرمول دیگر

$$\log(PDD) = [(-0.1078985 d - 0.449433) \log(A/P) + (-0.3447 d + 2.041368)] \quad (1)$$

استفاده از این فرمول مقدار درصد دوز عمقی بین ۱۰۵ و

۱۰۶ درصد محاسبه می‌گردد.

برای فرمول درجه دوم بر حسب  $\log(A/P)$  که به صورت:

$$\log(PDD) = [(-0.01134274 d - 0.26820.535) (\log(A/P))^{82} + (0.012031217 d + 0.02490.3562) (\log(A/P)) + (-0.34679764 d + 2.03630.878)] \quad (2)$$

به جز در یک مورد، مقدار درصد دوز عمقی محاسبه شده بین ۱۰۵ تا ۱۰۷ درصد بوده است. برای فرمول درجه اول دو قسمتی که به صورت:

$$\begin{cases} \log(PDD) = [(-0.09611d - 0.0476) \log(A/P) + (-0.2678d + 2.015361)] & 0.5 \leq d \leq 5 \text{ cm} \\ \log(PDD) = [(-0.10625d - 0.0126) \log(A/P) + (-0.3515d + 2.05446)] & 6 \leq d \leq 30 \text{ cm} \end{cases} \quad (3-a, 3-b)$$

عمق ۰/۵ سانتی متر مقدار درصد دوز عمقی فرمول (۳-a) بین ۱۰۰/۴۵ و ۱۰۰/۴۷ است. برای فرمول درجه دوم دو قسمتی:

$$\begin{cases} \log(PDD) = [(-0.0749570.8d + 0.00234) (\log(A/P))^{82} + (0.018113874d + 0.01811) \log(A/P) + (-0.0291189327d + 2.01733)] & 0.5 \leq d \leq 5 \text{ cm} \\ \log(PDD) = [(6/238 \times 10^{-5} d - 0.5 \cdot 1) (\log(A/P))^{82} + (0.01047878d + 0.05521) \log(A/P) + (-0.03517930.2d + 2.04586)] & 6 \leq d \leq 30 \text{ cm} \end{cases} \quad (a-4, b-4)$$

درصد دوز عمقی فرمول بین ۱۰۰/۶ تا ۱۰۷/۱ متغیر است که با افزایش ابعاد میدان افزایش می‌یابد. برای فرمول (۵) که دارای دو قسمت با درجه ۱ (قسمت اول) و درجه ۲ (قسمت دوم) می‌باشد:

$$\begin{cases} \log(PDD) = [(-0.0992d - 0.00523) \log(A/P) + (-0.2778d + 2.016893)] & 0.5 \leq d \leq 5 \text{ cm} \\ \log(PDD) = [(6/23812 \times 10^{-5} d - 0.5 \cdot 1) \log(A/P))^{82} + (0.01047878d + 0.05521) \log(A/P) + (-0.03517930.2d + 2.04586)] & 6 \leq d \leq 30 \text{ cm} \end{cases} \quad (a-5, b-5)$$

است مقدار  $\bar{\Delta}$  به دست آمده برابر با ۱/۱۵۴۳ می‌باشد. در عمقهای کم، به ویژه تا عمق ۴ سانتی متر، میزان توافق PDD محاسبه شده و جدول BJR کم است و در عمقهای بیشتر این توافق بیشتر است. برای عمق ۰/۵ سانتی متر، با

می‌باشد مقدار  $\bar{\Delta}$  به دست آمده برابر با ۱/۰۴۵۶ می‌باشد. میزان توافق PDD محاسبه شده و جدول BJR در عمقهای بیشتر از ۲ سانتی متر بیشتر است. برای عمق ۰/۵ سانتی متر

است مقدار  $\bar{\Delta}$  محاسبه شده برابر با ۰/۴۷۱۷ می‌باشد. در همه میدانها و عمقهای، اختلاف مقادیر محاسبه و جدول BJR فاحش نمی‌باشد و در بدترین موارد به ۱/۶ می‌رسد. برای

مقدار  $\bar{\Delta}$  به دست آمده برابر است با ۰/۸۹۶۳. اختلاف مقادیر جدول BJR و محاسبه شده، تا عمق ۵ سانتی متر، در مقایسه با عمقهای بالاتر بیشتر است. برای عمق ۰/۵ سانتی متر، مقدار

سانتی متر، مقدار درصد دوز عمقی بین ۱۰۰/۶ و ۱۰۰/۷ است. برای فرمولی که دارای درجه ۲ و درجه ۱ می باشد:

$$\left\{ \begin{array}{l} \log(PDD) = [(-0/0.749570.8d + 0/0.0234)(\log(A/P))^{1/2} + (0/0.18113874d + 0/0.1811)\log(A/P) + (-0/0.29189321d + 2/0.1733)] \quad 0/5 \leq d \leq 5 \text{ cm} \quad (\text{a - 6}) \\ \log(PDD) = [(0/0.10625d - 0/0.00126)\log(A/P) + (-0/0.3515d + 2/0.05446)] \quad 5 \leq d \leq 30 \text{ cm} \quad (\text{b - 6}) \end{array} \right.$$

افزایش عمق و ابعاد میدان نشان نمی دهد. در عمق ۰/۵ سانتی متر مقدار درصد دوز عمقی بین ۱۰۰/۶۳ برای میدان ۴×۴ سانتی متر مربع، تا ۱۰۷/۰۹ برای میدان ۴۵×۴۵ سانتی متر مربع متغیر است. در فرمول نمایی که به صورت:

$$PDD = \left[ \frac{2/42925 (\log(A/P))^4 - 0/122926 \cdot 76 (\log(A/P))^3 - 7/515078342 (\log(A/P))^2 + 4/702476564 \log(A/P) + 106/5076192}{\times \exp[(0/0.24072626 \log(A/P) - 0/0.76891944)d]} \right] \quad (\text{v})$$

عمقهای زیر ۳ سانتی متر و میدانهای بزرگتر این اختلاف بیشتر می باشد. برای عمق ۰/۵ سانتی متر مقدادر مقدار درصد دوز عمقی بین ۱۰۳ و ۱۰۴ درصد است. در فرمول نمایی درصد دوز عمقی که به صورت:

$$PDD = \left[ \frac{-4/620791 (\log(A/P))^5 + 14/54371465 (\log(A/P))^4 - 11/2404 (\log(A/P))^3 - 3/34623 (\log(A/P))^2 + 4/15274 \log(A/P) + 106/51667}{\times \exp[(0/0.24072626 \log(A/P) - 0/0.76891944)d]} \right] \quad (\text{x})$$

درصد دوز عمقی که از فرمول به دست می آید بین ۱۰۲ و ۱۰۴ درصد است. فرمول نهم که با استفاده از نرم افزار دیتافیت به دست آمده و در بین ۷۹ فرمول پیشنهادی کمترین انحراف معیار (۰/۰۵۶۸) را دارا می باشد عبارتست از:

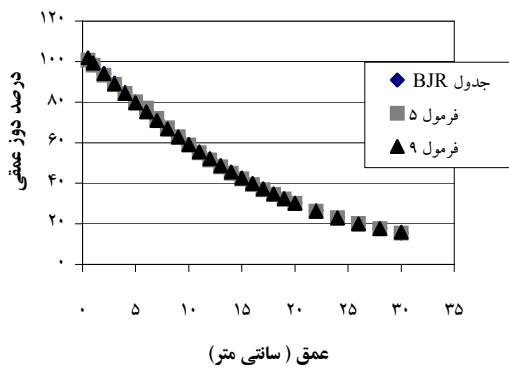
مقدار  $\bar{\Delta}$  برابر است با ۰/۳۱۵۲. به طور کلی اختلاف مقادیر جدول BJR و محاسبه شده روند ساده ای را با افزایش یا کاهش عمق و ابعاد میدان نشان نمی دهد. برای عمق ۰/۵

مقدار  $\bar{\Delta}$  برابر است با ۱/۰۴۸۱ و به طور کلی اختلاف مقادیر محاسبه شده و جدول BJR تا عمق ۵ سانتی متر زیادتر بوده و با افزایش ابعاد میدان افزایش می یابد. این اختلاف برای مقادیر بیشتر از ۵ سانتی متر کمتر بوده و روند ساده ای را با

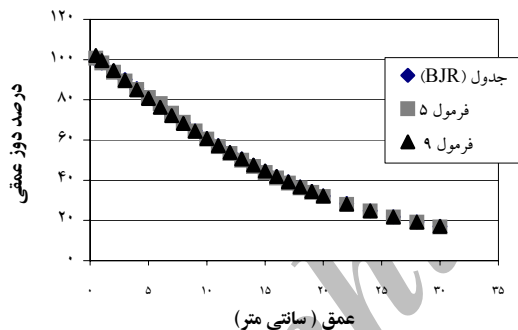
بوده و در آن ضریب تابع نمایی تابع درجه چهارم از  $\log(A/P)$  و توان تابع نمایی تابع درجه اول از  $\log(A/P)$  است، مقدار  $\bar{\Delta}$  برابر است با ۱/۱۰۷۸. برای این فرمول، تغییرات اختلاف مقادیر محاسبه و جدول BJR روند ساده ای را با تغییرات عمق و ابعاد میدان نشان نمی دهد ولی برای

بوده و در آن ضریب تابع نمایی تابع درجه پنجم از  $\log(A/P)$  و توان تابع نمایی تابع درجه اول از  $\log(A/P)$  است، مقدار  $\bar{\Delta}$  برابر است با ۱/۱۰۷۹. تغییرات اختلاف مقادیر محاسبه و جدول BJR روند مشخصی را با تغییر ابعاد میدان و عمق نشان نمی دهد. برای عمق ۰/۵ سانتی متر

$$\begin{aligned} PDD = & 102/9315 - 6/38426 d + 3/071164 \log(A/P) + 0/121267 d^2 + 2/6722914 (\log(A/P))^2 + 1/488511 d \\ & \times \log(A/P) - 0/00034 d^3 - 5/19147 (\log(A/P))^3 + 0/228787 d \times (\log(A/P))^2 - 0/04871 d^2 \times \log(A/P) \quad (9) \end{aligned}$$

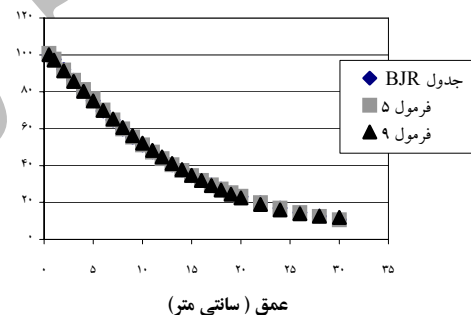


نمودار ۳- نمودار درصد دوز عمقي حاصل از جدول BJR و فرمولهای ۵ و ۹ برای ميدان  $15 \times 15$  سانتي متر مربع

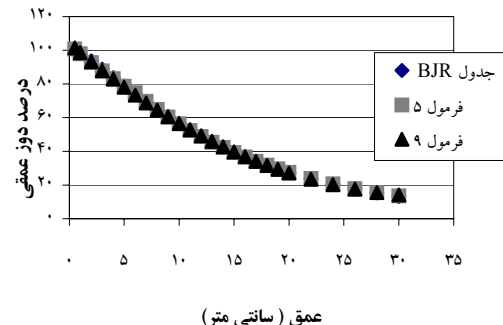


نمودار ۴- نمودار درصد دوز عمقي حاصل از جدول BJR و فرمولهای ۵ و ۹ برای ميدان  $20 \times 20$  سانتي متر مربع

مقدار  $\bar{\Delta}$  برای اين فرمول برابر است با  $0/4284$  و اختلاف مقادير محاسبه شده و جدول BJR روند ساده اى را با افزایش يا کاهش عميق و ابعاد ميدان ندارد. مقادير محاسبه شده درصد دوز عمقي برای عميق  $0/5$  سانتي متر از  $99/77$  تا  $102/02$  متغير مى باشند. نمودارهای مقادير درصد دوز عمقي جدول BJR و محاسبه شده با فرمولهای ۵ و ۹ که كمترین مقادير  $\bar{\Delta}$  را دارند، بر حسب عميق در نمودارهای ۱ تا ۶ ترسیم شده است:



نمودار ۱- نمودار درصد دوز عمقي حاصل از جدول BJR و فرمولهای ۵ و ۹ برای ميدان  $5 \times 5$  سانتي متر مربع



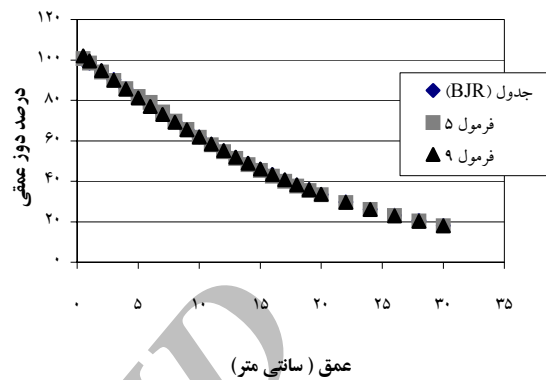
نمودار ۲- نمودار درصد دوز عمقي حاصل از جدول BJR و فرمولهای ۵ و ۹ برای ميدان  $10 \times 10$  سانتي متر مربع

#### ۴- بحث و نتیجه گیری

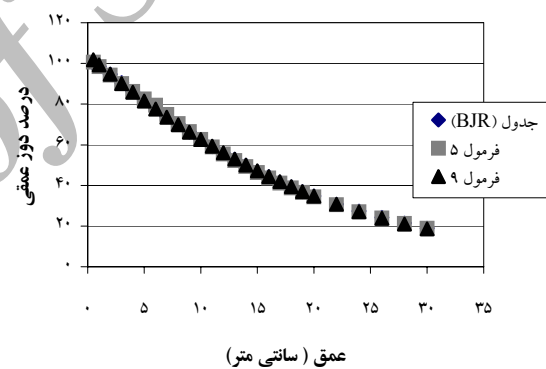
فرمولهای ۵، ۹ و ۳ به ترتیب دارای کمترین  $\Delta$  هستند که نشان دهنده توافق بهتر آنها با مقادیر درصد دوز عمقی موجود در جدول BJR در مقایسه با سایر فرمولها است. در عمق ۰/۵ سانتی متر به ترتیب فرمولهای ۳، ۵ و ۹ توافق بهتری را با جدول BJR نشان می دهند به طوریکه درصد دوز عمقی برای فرمول ۳، بین ۱۰۰/۴۵ و ۱۰۰/۴۷ به دست می آید. درصد دوز عمقی برای فرمول ۵ بین ۱۰۰/۶ و ۱۰۰/۷ و برای فرمول ۹ بین ۹۹/۷۷ و ۱۰۲/۰۲ حاصل می شود. به نظر می رسد که فرمول ۵ برای همه میدانها و عمقهای مذکور دارای بیشترین توافق با مقادیر جدول BJR بوده و در برآوردهای دقیقتر مقادیر درصد دوز عمقی محور مرکزی کبالت ۶۰، به ویژه برای عمقها و میدانهایی که جدول BJR قادر مقدار می باشد کارآمدتر است.

#### ۵- تشکر و قدردانی

نویسندها بروز خود لازم می دانند که از آقای سید مجتبی کربلایی که در حل مشکلات مربوط به محاسبات همکاری داشته اند تشکر کنند.



نمودار ۵- نمودار درصد دوز عمقی حاصل از جدول BJR و فرمولهای ۵ و ۹ برای میدان ۲۵ × ۲۵ سانتی متر مربع



نمودار ۶- نمودار درصد دوز عمقی حاصل از جدول BJR و فرمولهای ۵ و ۹ برای میدان ۳۰ × ۳۰ سانتی متر مربع

#### منابع

- Yeo I, Chris Wang C, Burch S. A filtration method for improving film dosimetry in photon radiation therapy. *Med Phys* 1997; 24(12): 1943-1953.
- International Commission on Radiation Units and Measurements (ICRU). Determination of Absorbed Dose in a Patient Irradiated by Beams of X or Gamma Rays in Radiotherapy Procedures. ICRU Report No 24, ICRU, Washington, 1976: 45-46.
- Tsalafoutas I, Xenofos S, Papalexopoulos A, Nikoletopoulos S. Dose calculations for asymmetric fields defined by independent collimators using symmetric field data. *Br J Radiol* 2000; 73: 403-409.
- Liu H, Mackie T, McCullough E. Calculation dose and output factors for wedged photon radiotherapy fields using a convolution/superposition method. *Med Phys* 1997; 24(11): 1714-1728.

5. Davis J, Reiner B. Depth dose under narrow shielding blocks: a comparison of measured and calculated dose. *Radiother & Oncol.* 1995; 34: 219-227.
6. Storchi P, Woudstra E. Calculation models for determining the absorbed dose in water phantoms in off-axis planes of rectangular fields of open and wedged photon beams. *Phys Med & Biol.* 1995; 40: 511-527.
7. Sterling T, Perry H, Katz L. Determination of a mathematical expression for the percent depth dose surface of cobalt 60 beams and visualization of multiple field dose distributions. *Br J Radiol.* 1964; 37: 544-550.
8. Sterling T, Perry H, Weinkam J. A general field equation to calculate percent depth dose in the irradiated volume of a cobalt 60 beam. *Br J Radiol.* 1967; 40: 463-468.
9. Thomas R. A general expression for megavoltage central axis depth doses . *Br J Radiol.* 1970; 43: 554-557.
10. Thames H. A new method for computer generation of dose distributions from external x- and gamma-ray sources. *Radiology.* 1973; 106: 199-208.
11. Kornelson R, Young M. Empirical equations for the representation of depth dose data for computerized treatment planning. *Br J Radiol.* 1975; 48 (573): 739-748.
12. Kanellitsas C, Fayos J. Analytical approach for depth dose calculations ( $^{60}\text{Co}$  beams with fixed source-target distance). *Radiology.* 1975; 115: 181-185.
13. Hospital Physicists' Association. Central axis depth dose data for use in radiotherapy. *Br J Radiol.* 1983; Supp No 17: 54-55.